

增高和术后血压波动大等因素有关,是威胁患者生存和影响预后的重要因素。本组有 53 例术后复查 CT,再出血率为 13.2%,术后再出血者多为初期开展此类手术的患者,多见于入院时出血量较大,收缩压 >190mmHg,术后血压控制不佳者。针对上述特点,笔者对后期手术患者采取一些相应的防范措施:①进入血肿腔后只吸除血肿,避免吸除血肿腔边缘的脑组织而引起新的出血;②术中避免反复牵拉脑组织来探查和清除血肿,清除血肿不宜过快,用低吸引力缓慢清除血肿,待血肿腔内压力下降,周围血肿自然向血肿腔中央推移后再继续缓慢清除,避免损伤脑组织而出现新的出血点;③血肿清除干净后对于血肿腔内的出血点必须可靠止血,即使无活动渗血也不急于关颅,继续观察 10min 左右,明确是否有活动渗血或下陷的脑组织是否复胀;④术中麻醉和复苏要平稳,避免血压波动过大,术后收缩压控制在 150mmHg 以下。通过上述措施本组后期 26 例手术患者术后再出血 1 例,再出血发生率为 3.84%,较初期明显减少。同时,笔者认为由于高血压脑出血术后血肿残留及再出血仍时有发生,术后应常规在血肿腔内放置引流管以备术后引流用。对于血肿腔内无明显渗血者不要过多填入明胶海绵等止血材料,以免影响术后血肿残留及再出血者血肿的溶解和引流。

## 参考文献

- 1 Kanaya H, Yukawa H, Itoh Z, et al. Grading and indications for treatment of ICH of basal ganglia (Co-operative study in Japan) [M]. Berlin: Springer-Verlag, 1980:268-274
- 2 只达石. 实用临床神经外科学 [M]. 北京: 科学技术文献出版社, 2009:559-567
- 3 Kanaya H, Kuroda K. Development in neurosurgical approaches to hypertensive intracerebral hemorrhage in Japan [M]. New York: Raven Press, 1992:197-210
- 4 张帆, 游潮. 高血压脑出血手术治疗的研究进展 [J]. 中国脑血管病杂志, 2010, 7(4):210-214
- 5 王凯, 潘秀平, 雪亮. 脑出血手术方法探讨与治疗进展 [J]. 中国临床神经外科杂志, 2008, 13(12):764-766
- 6 Ramnarayan R, Anto D, Anilkumar TV, et al. Decompressive hemi-craniectomy in large putaminal hematomas: an Indian experience [J]. J Stroke Cerebrovasc Dis, 2009, 18(1):1-10
- 7 Shimamura N, Munakata A, Naraoka M, et al. Decompressive hemi-craniectomy is not necessary to rescue supratentorial hypertensive intracerebral hemorrhage patients: consecutive single-center experience [J]. Acta Neurochir Suppl, 2011, 111(1):415-419
- 8 Chen SC, Feng G. Clinic investigation and logistic analysis of risk factors of recurrent hemorrhage after operation in the earlier period of cerebral hemorrhage [J]. Acta Neurochir Suppl, 2005, 95(1):119-121

(收稿:2012-02-21)

(修回:2012-03-05)

## 柴胡皂苷-d 对大鼠肝癌细胞 H4-II E 细胞内 $\text{Ca}^{2+}$ 的影响研究

秦 勇 陈念平 叶冠雄 徐胜前 吴成军 王 世 潘德标

**摘要 目的** 探讨柴胡皂苷-d (saikosaponin-D, SS-D) 诱导大鼠肝癌细胞 H4-II E 细胞内钙离子浓度 ( $[\text{Ca}^{2+}]_{\text{cyt}}$ ) 变化的影响研究。**方法** 通过噻唑蓝 (MTT) 比色实验选择合适的药物浓度、荧光指示剂 Fluo-3/AM 检测  $[\text{Ca}^{2+}]_{\text{cyt}}$  及钙库中  $\text{Ca}^{2+}$  的变化。**结果** MTT 比色结果显示, 10、30、50、70、100  $\mu\text{mol/L}$  SS-D 对细胞的存活率都在 90% 以上。第一大组中阴性对照组可引起细胞内钙离子浓度升高, 其平均荧光强度 (MFI) 为  $35.76 \pm 1.37$ ; 阳性对照组可使其大幅度升高, 其 MFI 值为  $74.74 \pm 1.26$ 。不同浓度的 SS-D 也可使其不同程度升高, 并且与 SS-D 呈浓度依赖性, 其平均荧光强度 (MFI) 分别为  $59.95 \pm 1.02$ 、 $73.89 \pm 1.35$ 、 $80.30 \pm 0.04$ 、 $93.30 \pm 0.83$ 。阳性对照组及处理组的 MFI 值明显高于阴性对照组 ( $P < 0.05$ ); 处理组 1、处理组 3 及处理组 4 MFI 值与阳性对照组比较差异有统计学意义 ( $P < 0.05$ ); 石胆酸 (LCA) 及 SS-D、熊脱氧胆酸 (UDCA) 都能诱导细胞钙库中  $\text{Ca}^{2+}$  释放。**结论** SS-D 能诱导细胞内  $\text{Ca}^{2+}$  内流, 增加  $[\text{Ca}^{2+}]_{\text{cyt}}$ , 调控细胞内  $\text{Ca}^{2+}$  的生理活动。

**关键词** 柴胡皂苷-d 钙离子 H4-II E 细胞 细胞内钙离子浓度

作者单位:323000 浙江省丽水市人民医院普通外科(秦勇、叶冠雄、徐胜前、吴成军、王世、潘德标);524001 湛江, 广东医学院附属医院肝胆外科(陈念平)

**Effect of Saikosaponin - d on Intracellular  $\text{Ca}^{2+}$  Concentration of H4 - II E Rat Liver Cells.** Qin Yong, Chen Nianping, Ye Guanxiong, et al. General Surgery of the People's Hospital of Lishui, Guangdong 323000, China

**Abstract Objective** To investigate the influences of saikosaponin - d (SS - D) on the free cytoplasmic concentration of  $\text{Ca}^{2+}$  in H4 - II E cells of rat models. **Methods** Proper concentration of chemicals used in the study was assessed by thiazol blue (MTT) method. Changes in free cytoplasmic  $\text{Ca}^{2+}$  concentration ( $[\text{Ca}^{2+}]_{\text{cyt}}$ ) and intracellular stores  $\text{Ca}^{2+}$  were measured by Fluo - 3/AM load technique. **Results** MTT test showed that cell survival rates were all over 90% after treatment of SS - D at the concentration of 10, 30, 50, 70, 100 and  $120 \mu\text{mol/L}$ , respectively. The negative control group showed a increase of  $[\text{Ca}^{2+}]_{\text{cyt}}$  with mean fluorescence intensity (MFI) of  $35.76 \pm 1.37$ , and the increase was even more obvious in the positive control group, which showed MFI of  $74.74 \pm 1.26$ . For other groups, the MFI of  $[\text{Ca}^{2+}]_{\text{cyt}}$  was  $59.95 \pm 1.02$ ,  $73.89 \pm 1.35$ ,  $80.30 \pm 0.04$ ,  $93.30 \pm 0.83$ , respectively, showing an SS - D dose - dependent increase. MFI were significantly higher in positive control group and the treatment group than that in the negative control group ( $P < 0.05$ ). There was also significant differences in the MFI between treatment group 1, 3, 4 and that in the positive control group ( $P < 0.05$ ). SS - D, LCA and UDCA can induce the release of  $\text{Ca}^{2+}$  from intracellular stores. **Conclusion** SS - D may regulate physiological activities of intracellular  $\text{Ca}^{2+}$  by increasing  $[\text{Ca}^{2+}]_{\text{cyt}}$  level since it can induce  $\text{Ca}^{2+}$  influx.

**Key words** SS - D;  $\text{Ca}^{2+}$ ; H4 - II E cell;  $[\text{Ca}^{2+}]_{\text{cyt}}$

胆汁酸可通过诱导内质网(ER)中  $\text{Ca}^{2+}$  的释放和(或)钙内流,改变细胞内钙离子浓度( $[\text{Ca}^{2+}]_{\text{cyt}}$ ),来加强或抑制胆汁沿着胆道系统进行排泄,调节肝细胞一系列生理功能<sup>[1~3]</sup>。我国中药柴胡在临床应用中发挥不同的作用,柴胡皂苷是柴胡的主要化学成分,Yang 等研究发现  $10 \mu\text{mol/L}$  柴胡皂苷(I)能诱导大鼠胰腺腺泡细胞内钙库中  $\text{Ca}^{2+}$  释放,增加细胞内  $\text{Ca}^{2+}$  浓度,随后又出现胞外  $\text{Ca}^{2+}$  内流,再次增加胞内  $\text{Ca}^{2+}$  浓度<sup>[4~6]</sup>。而在随后的研究中证实,柴胡皂苷(I)通过与大鼠胰腺腺泡细胞膜受体的相互作用转导刺激信号,使  $[\text{Ca}^{2+}]_{\text{i}}$  先后两次达到峰值,从而持续加强柴胡皂苷(I)的促酶分泌功能。日本学者 Kodama 等<sup>[7]</sup>对 C6 型大鼠神经胶质瘤细胞的研究中发现  $10 \sim 100 \mu\text{mol/L}$  柴胡皂苷 - d 可诱导细胞内钙库中  $\text{Ca}^{2+}$  释放,使细胞内  $\text{Ca}^{2+}$  浓度升高。综合上述学者的研究,柴胡皂苷 - d 可调控细胞内  $\text{Ca}^{2+}$  浓度的变化,但能否诱导肝细胞系内  $\text{Ca}^{2+}$  浓度的变化在国内少见报道,本实验在细胞水平上探讨 SS - D 对 H4 - II E 细胞内  $\text{Ca}^{2+}$  浓度变化影响作用。

## 资料与方法

1. 细胞株:大鼠肝癌细胞株 H4 - II E 购自上海拜力生物科技有限公司。

2. 试剂和仪器:DMEM 培养基(广州威佳公司),石胆酸、熊脱氧胆酸(Sigma 公司),柴胡皂苷 - d(南昌贝塔公司),Fluo - 3/AM 荧光探针(香港先进技术公司)。

3. 细胞培养:大鼠肝癌细胞株 H4 - II E 接种于含 10% 胎牛血清、 $100 \text{U/L}$  青霉素、 $100 \mu\text{g/ml}$  链霉素的 DMEM 高糖培养基中,在  $37^\circ\text{C}$ 、饱和湿度、 $5\% \text{CO}_2$  培养箱中常规培养,每 1~2 天换液传代培养。传代时将原培养液吸出,加入 0.25% 胰蛋白酶溶液消化 45s 后,加入 5ml 左右的新培养液终止消化,然

后用培养液吹打制成细胞悬液后传代或接种。

4. 实验分组:第一大组:处理组为柴胡皂苷 - d 样品液加入培养液中,终浓度分别为处理组 1( $30 \mu\text{mol/L}$ )、处理组 2( $50 \mu\text{mol/L}$ )、处理组 3( $70 \mu\text{mol/L}$ )、处理组 4( $100 \mu\text{mol/L}$ ),同时每个处理组都加入终浓度为  $50 \mu\text{mol/L}$  石胆酸(LCA);空白对照组:加入与处理组相同体积完全培养液(大鼠肝癌细胞 H4 - II E);阴性对照组:终浓度为  $50 \mu\text{mol/L}$  LCA 加入与处理组相同体积培养液中;阳性对照组:终浓度为  $300 \mu\text{mol/L}$  熊脱氧胆酸(UDCA)与终浓度为  $50 \mu\text{mol/L}$  LCA 同时加入与处理组相同体积培养液中。第二大组又分别设立空白对照组、终浓度为  $50 \mu\text{mol/L}$  的 LCA 为阴性对照组、 $300 \mu\text{mol/L}$  的 UDCA 为阳性对照组及  $50 \mu\text{mol/L}$  的 SS - D 为处理组。

5. 噻唑蓝(MTT)比色实验:取对数生长期生长良好的 H4 - II E 肝癌细胞以  $6 \times 10^3/\text{孔}$  的密度接种于 96 孔培养板,每组设 5 个平行孔,培养箱中培养 12h 后(待完全贴壁),换含有不同浓度的柴胡皂苷 - d 及对照组的 H4 - II E 肝癌细胞培养液,继续培养 12h 后,后进行 MTT 染色分析

6. 荧光指示剂 Fluo - 3/AM 结合流式细胞仪测定细胞内钙离子浓度:①将浓度为  $5 \times 10^5$  个/毫升的 H4 - II E 肝癌细胞接种于培养基中,培养 24h 后换液,第一大组及第二大组各实验组同时作用细胞 12h 后,无  $\text{Ca}^{2+}$  的 D - Hank's 离心洗涤  $1000\text{r/min} \times 5\text{min} \times 3$  次,弃上清液,收集细胞( $2 \sim 3 \times 10^6$  个细胞);②第一大组避光加入 1ml 终浓度为  $2.4 \text{mmol/L}$  的  $\text{Ca}^{2+}$  及  $5 \mu\text{mol/L}$  荧光染料 Fluo - 3/AM 孵育缓冲液悬浮细胞; $37^\circ\text{C}$ 、 $5\% \text{CO}_2$  的培养箱中避光孵 1h;③第二大组避光先加入 1ml 无  $\text{Ca}^{2+}$ 、pH 值为 8.8、终浓度为  $20 \text{mmol/L}$  的乙二醇双四乙酸(EGTA)及  $5 \mu\text{mol/L}$  荧光染料 Fluo - 3/AM 孵育缓冲液悬浮细胞; $37^\circ\text{C}$ 、 $5\% \text{CO}_2$  的培养箱中避光孵 1h。选用各实验分组作用于大鼠肝癌细胞株 H4 - II E 12h 后,按照试剂盒上的说明书结合流式细胞仪检测 H4 - II E 细胞内  $\text{Ca}^{2+}$  浓度的变化。

7. 统计学方法:实验结果以均数标准差( $\bar{x} \pm s$ )表示,所有

实验数据采用 SPSS 17.0 统计软件分析。对照组与各处理组的比较采用方差分析中最小有意义差异法 (LSD) 分析,  $P < 0.05$  为差异有统计学差异。

## 结 果

1. 噻唑蓝 (MTT) 比色实验选择药物实验浓度: 不同浓度的 SS - D 处理 H4 - II E 肝癌细胞 12h 后, SS - D 对肝癌细胞的抑制作用不大, 最大抑制率不超过 11.12%; 说明 10~100  $\mu\text{mol}/\text{L}$  SS - D 对细胞的生长无明显影响 (表 1)。SS - D 不同浓度时细胞的存活率见表 1, 为避免药物浓度过大所致的细胞毒性作用, 应选择对细胞生长无明显影响即细胞存活率在 90% 以上的浓度。

表 1 柴胡皂苷 - d 组对 H4 - II E 肝癌细胞活性的影响 ( $\bar{x} \pm s$ )

组别	浓度 ( $\mu\text{mol}/\text{L}$ )	OD 值	存活率 (%)
对照组		$0.8208 \pm 0.0517$	
柴胡皂苷 - d 组	10	$0.7810 \pm 0.0323^{\Delta *}$	94.95
	30	$0.7730 \pm 0.0296^{\Delta *}$	93.94
	50	$0.7676 \pm 0.0229^{\Delta *}$	93.25
	70	$0.7610 \pm 0.0204^{\Delta *}$	92.92
	100	$0.7622 \pm 0.0344^{\Delta *}$	92.57
	120	$0.7702 \pm 0.0234^*$	88.88

与对照组比较, \*  $P < 0.05$ ; 与 120  $\mu\text{mol}/\text{L}$  柴胡皂苷 - d 组比较,  $\Delta P < 0.05$

2. 荧光指示剂 Fluo - 3/AM 测定细胞内钙离子浓度: 分析结果以 1 万个细胞平均荧光强度 (mean fluorescence intensity, MFI) 表示细胞内钙离子的相对含量, 结果显示第一大组中阴性对照组处理 H4 - II E 细胞 12h 后可引起细胞内  $\text{Ca}^{2+}$  的 MFI 升高, 阳性对照组可使细胞内  $\text{Ca}^{2+}$  的 MFI 大幅度升高, 两组比较差异有统计学意义 ( $P < 0.05$ )。处理组也可使细胞内钙离子的 MFI 不同程度升高, 并且与 SS - D 呈浓度依赖性, 与阴性对照组比较有差异 ( $P < 0.05$ ); 处理组 1、处理组 3、处理组 4 与阳性对照组比较有差异 ( $P < 0.05$ ), 并且与 SS - D 呈浓度依赖性。第二大组中阴性、阳性及处理组都能使细胞内  $\text{Ca}^{2+}$  的 MFI 增加, 说明 SS - D、LCA 及 UDCA 都能诱导钙库中钙离子释放到胞质中。

3. 流式细胞仪图观察各实验组  $\text{Ca}^{2+}$  的变化情况: 图 1 中 A、B、D、E、F、G 各波峰代表进入区域的荧光数目, 横线代表荧光强度; A 组未见进入荧光强度区域内的波峰, G 及 C 组也可见不同程度进入荧光强度区域内的波峰, 而随着处理组浓度的增加, 进入横线区域的波峰也增多, 说明荧光强度及量呈不同程度

增加 (图 1)。

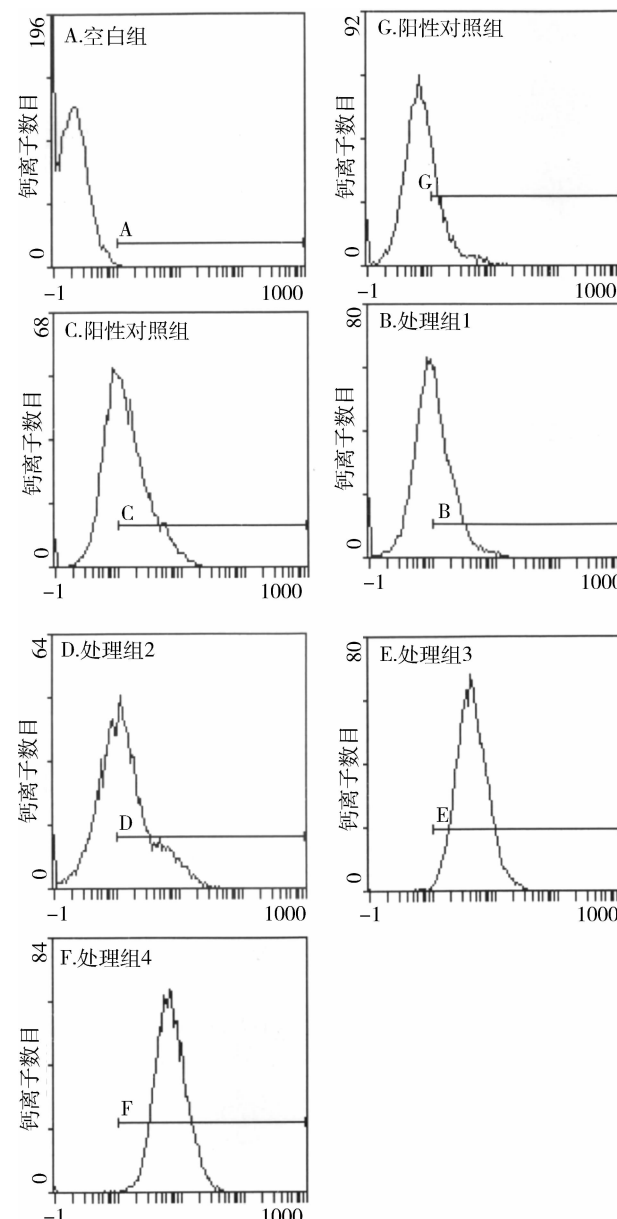


图 1 石胆酸、熊脱氧胆酸、柴胡皂苷 - d 对 H4 - II E 细胞内钙离子浓度的影响

## 讨 论

钙离子是细胞内的主要第二信使, 参与调控许多细胞和组织的生理活动, 近期研究胆汁酸对大鼠肝癌细胞 H4 - II E 和原代正常的鼠肝细胞的作用, 发现 UDCA 及其他的利胆胆汁酸, 能诱导内质网钙库中  $\text{Ca}^{2+}$  释放, 激活  $\text{Ca}^{2+}$  内流<sup>[3,8]</sup>。而预培养 12h 的 LCA 及其他淤胆胆汁酸也可诱导内质网钙库中  $\text{Ca}^{2+}$  释放, 但抑制  $\text{Ca}^{2+}$  内流, 利胆胆汁酸牛磺脱氧胆酸 (TD-CA) 与淤胆胆汁酸 LCA 同时行细胞培养 12h 后, 细胞内  $\text{Ca}^{2+}$  浓度明显升高, 这提示 TDCA 能抵消预培

养 12h 的 LCA 对钙池操作性钙通道 (SOC) 的抑制作用, 说明利胆胆汁酸能中和淤胆胆汁酸对细胞的毒害作用<sup>[3]</sup>。柴胡皂苷-d 是柴胡化学成分中最具有活性的成分, 能否诱导肝细胞系内  $\text{Ca}^{2+}$  的变化, 在国内研究甚少<sup>[4]</sup>。

本实验通过 30~100  $\mu\text{mol/L}$  柴胡皂苷-d (SS-D) 加 50  $\mu\text{mol/L}$  LCA 作为处理组、UDCA 加 LCA 作为阳性对照组及 LCA 作为阴性对照组同时孵育大鼠肝癌细胞 H4-II E 12h 后, 结果显示 LCA 可引起  $[\text{Ca}^{2+}]_{\text{cyt}}$  升高, UDCA 可使其大幅度升高, 不同浓度的 SS-D 也可使其不同程度升高, 并且与 SS-D 呈浓度依赖性, 而 50  $\mu\text{mol/L}$  的 LCA、300  $\mu\text{mol/L}$  的 UDCA 及 50  $\mu\text{mol/L}$  的 SS-D 作用于大鼠肝癌细胞 H4-II E 12h 后都能使  $[\text{Ca}^{2+}]_{\text{cyt}}$  增加, 说明 SS-D 与利胆胆汁酸具有相同作用, 而有研究在胆汁淤积症鼠模型中证实, 利胆胆汁酸能预防胆管细胞受损, 维持其正常的功能活动<sup>[9]</sup>。又有研究表明, 肝细胞内胞质中游离  $\text{Ca}^{2+}$  浓度的升高是由于胞外  $\text{Ca}^{2+}$  内流和胞内钙库中  $\text{Ca}^{2+}$  的释放所致, 而这又是胆管收缩, 促使胆汁酸沿着胆小管移动的必需的部分机制。而 SS-D 对乙醇损伤大鼠肝细胞研究表明, SS-d 能增强机体抗氧化防御能力<sup>[10]</sup>。抑制自由基的产生, 促进肝细胞增殖, 防止肝细胞损伤和坏死。这更进一步说明 SS-D 可能通过影响细胞内  $\text{Ca}^{2+}$  变化来刺激胆汁流量, 在分子水平上减少氧自由基的产生, 从而起到保护肝细胞内能量代谢、减轻肝脏损伤的作用。

综上所述, 结合本次实验, 是否可推测 SS-D 可能作为一种“天然的利胆药”, 在胆汁淤积症中或肝内外胆道梗阻解除的情况下, 通过诱导细胞内钙库中  $\text{Ca}^{2+}$  的释放来提高胞质中钙离子浓度, 加强胆汁排泄。但 SS-D 在调控细胞内  $\text{Ca}^{2+}$  浓度的变化是否与膜上的钙信号通路有关, 值得更进一步研究。

## 参考文献

- Lau BW, Colella M, Ruder WC, et al. Deoxycholic acid activates protein kinase C and phospholipase C via increased  $\text{Ca}^{2+}$  entry at plasma membrane [J]. Gastroenterology, 2005, 128(3): 695~707
- Gerasimenko JV, Flowerdew SE, Voronina SG, et al. Bile acids induce  $\text{Ca}^{2+}$  release from both the endoplasmic reticulum and acidic intracellular calcium stores through activation of inositol trisphosphate receptors and ryanodine receptors [J]. J Biol Chem, 2006, 281: 40154~40163
- Aromataris EC, Castro J, Rychkov G, et al. Storeoperated  $\text{Ca}^{2+}$  channels and stromal interaction molecule 1 (STIM1) are targets for the actions of bile acids on liver cells [J]. Biochim Biophys Acta Mol Cell Res, 2008, 1783(5): 874~885
- 史群云, 高丽丽. 柴胡的研究现状 [J]. 医护论坛, 2009, 6(3): 158~159
- Yang WX, Yu Y, Zhang WZ, et al. Inhibitory role of GDP on saikogenin (I) stimulated enzymes secretion and rising of  $[\text{Ca}^{2+}]_{\text{i}}$  in rat pancreatic acini [J]. Acta Pharmacol Sin, 2001, 22(7): 669~672
- Yu Y, Yang WX, Wang H, et al. Characteristics and mechanism of enzyme secretion and increase in  $[\text{Ca}^{2+}]_{\text{i}}$  in Saikogenin (I) stimulated rat pancreatic acinar cells [J]. World J Gastroenterol, 2002, 8(3): 524~527
- Kodama Y, Xiaochuan L, Tsuchiya C. Dual effect of saikogenin D: *in vitro* inhibition of prostaglandin E2 production and elevation of intracellular free  $\text{Ca}^{2+}$  concentration in C6 rat glioma cells [J]. Planta Med, 2003, 69(8): 765~767
- Joel C, Edoardo C, Grigori Y, et al. A small component of the endoplasmic reticulum is required for store-operated  $\text{Ca}^{2+}$  channel activation in liver cells: evidence from studies using TRPV1 and taurine-deoxycholic acid [J]. Biochem J, 2009, 418: 553~566
- Marco M, Heather F, Antonio B, et al.  $\text{Ca}^{2+}$ -dependent cytoprotective effects of ursodeoxycholic and taurooursodeoxycholic acid on the biliary epithelium in a rat model of cholestasis and loss of bile ducts [J]. American Journal of Pathology, 2006, 168(2): 398~409
- 李素婷, 周晓慧, 杨鹤梅, 等. 柴胡皂苷-d 对乙醇损伤原代培养大鼠肝细胞的保护作用 [J]. 承德医学院院报, 2007, 24(4): 352~354

(收稿: 2011-09-16)

(修回: 2011-11-28)

## 血液透析通路使用现状及更换次数影响因素分析

梁世凯 赵湘

**摘要 目的** 了解维持性血液透析患者的通路应用现状, 探讨影响通路更换的因素。**方法** 统计 2010 年 1 月 1 日~2011 年 6 月 30 日期间笔者区院 124 例维持性血液透析患者的临床资料、通路更换次数, 分析影响更换次数的因素。**结果** 124 例患

者单位: 310014 杭州, 浙江省人民医院肾内科

通讯作者: 赵湘, 电子信箱: zhaoxiang7-7@163.com